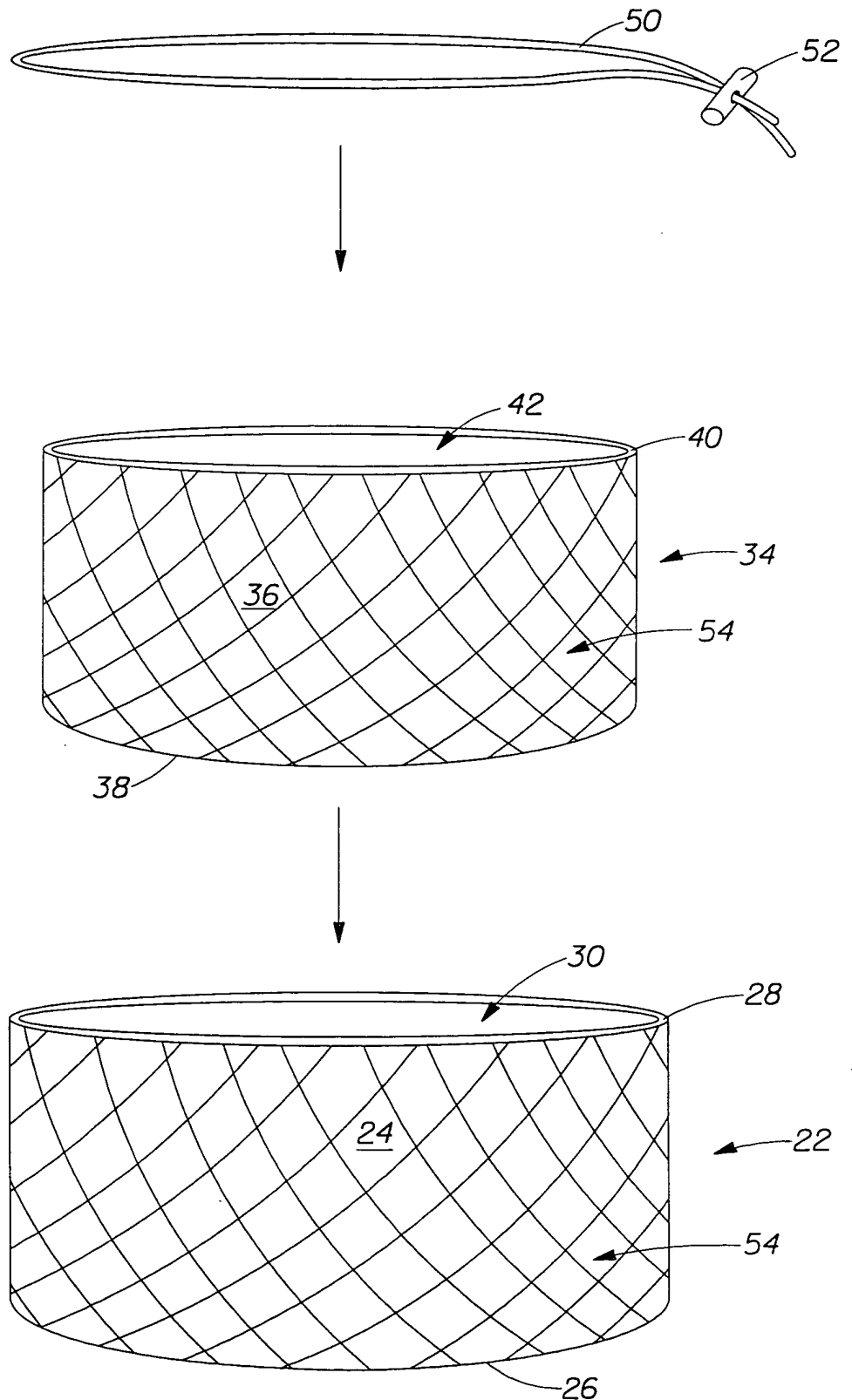


Fig. 1

2/33

Fig. 2



3/33

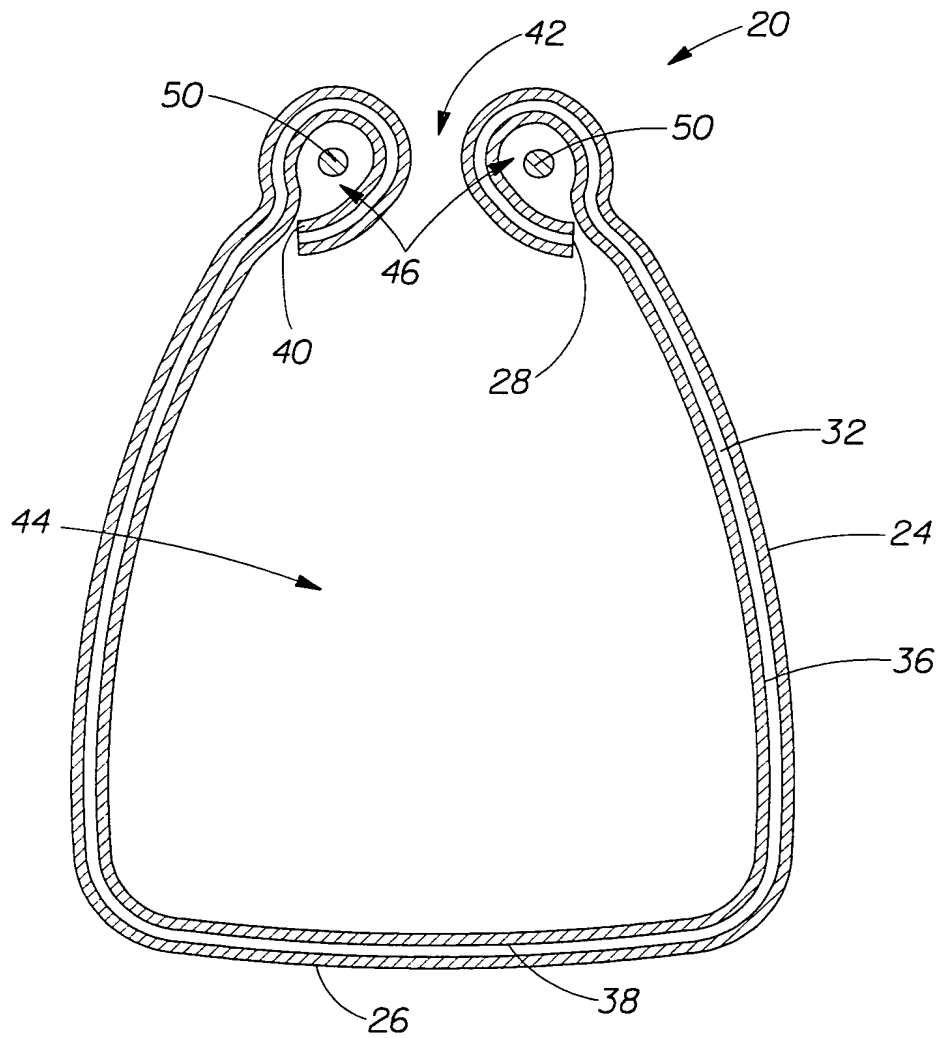


Fig. 3

4/33

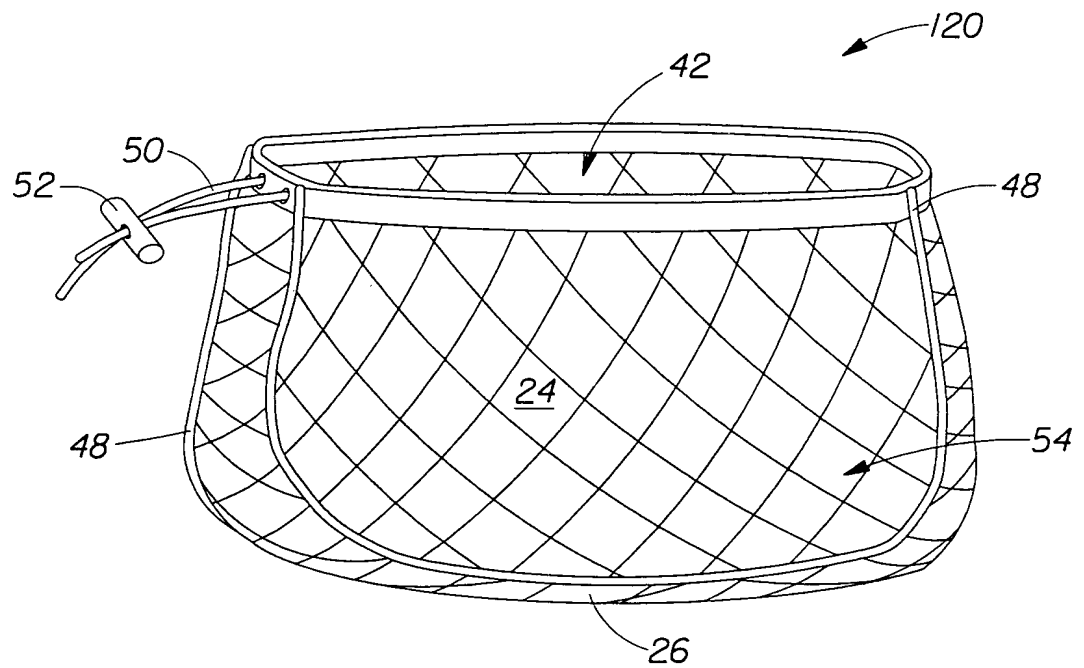
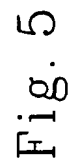


Fig. 4



Fi. 5

6/33

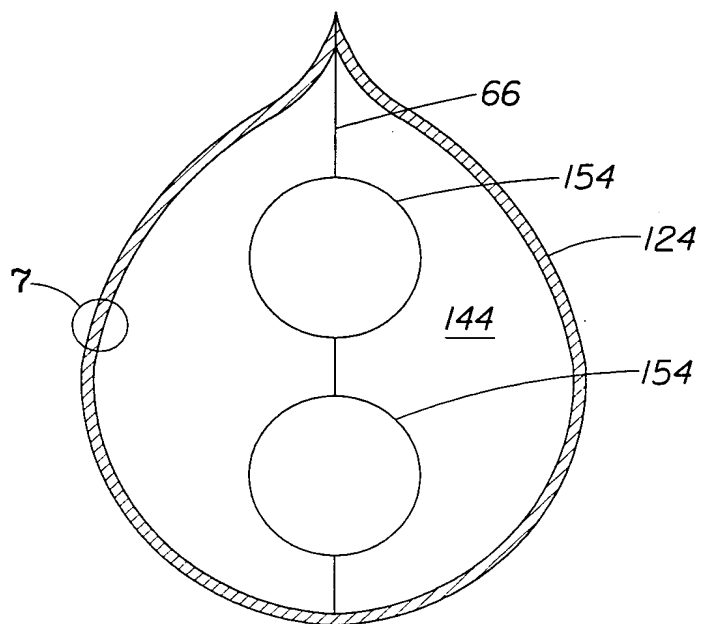


Fig. 6

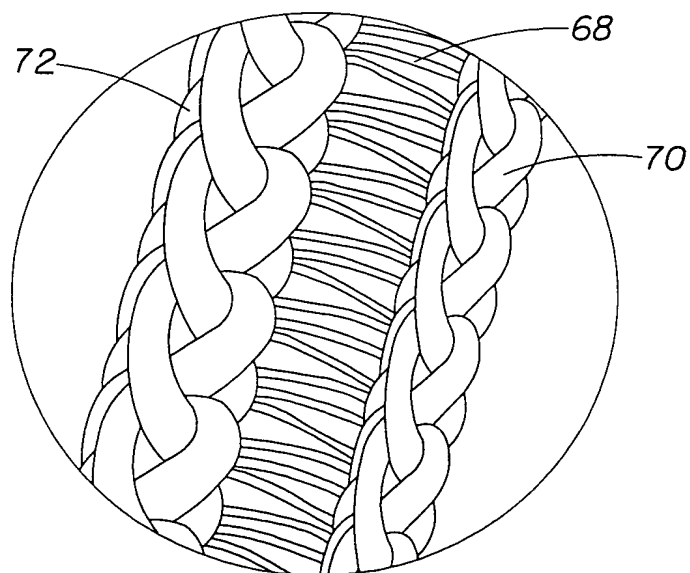


Fig. 7

7/33

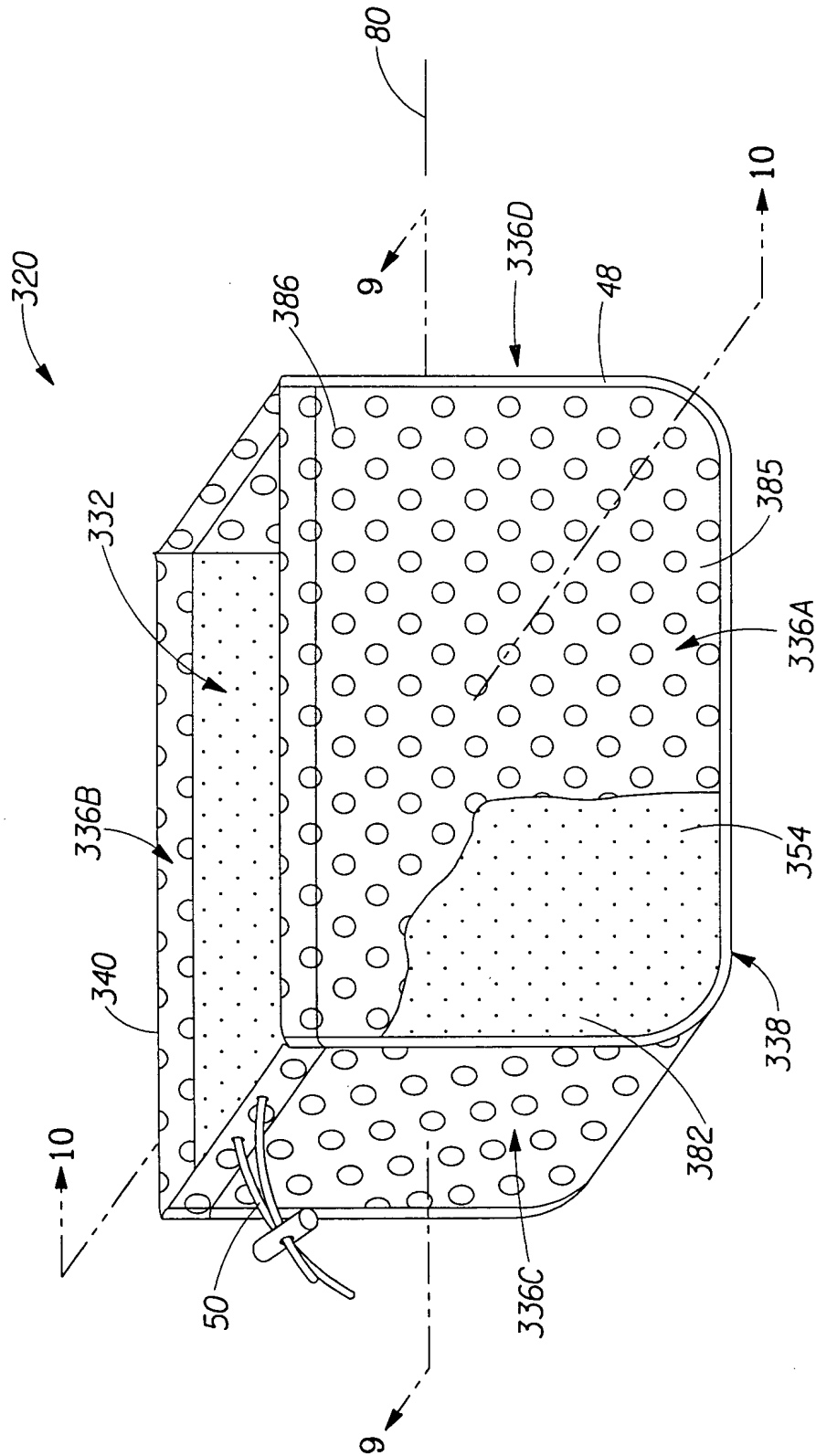


Fig. 8

8/33

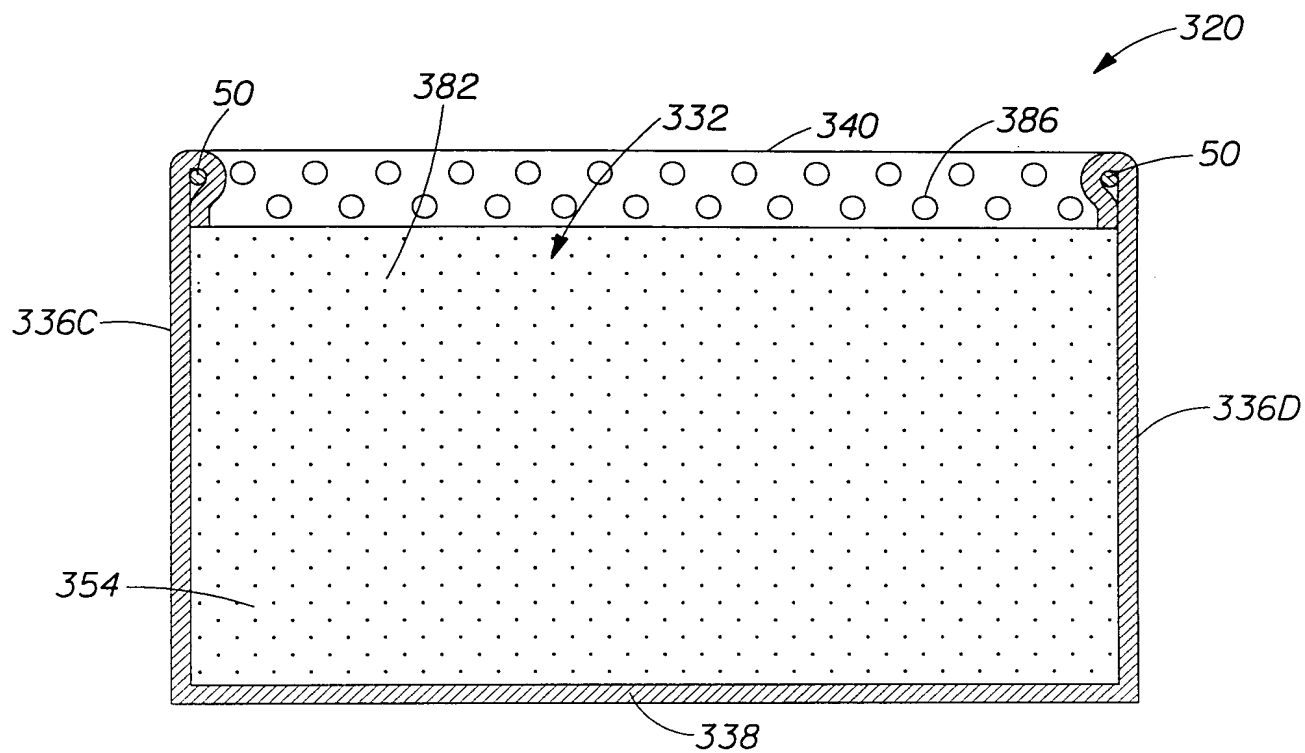


Fig. 9

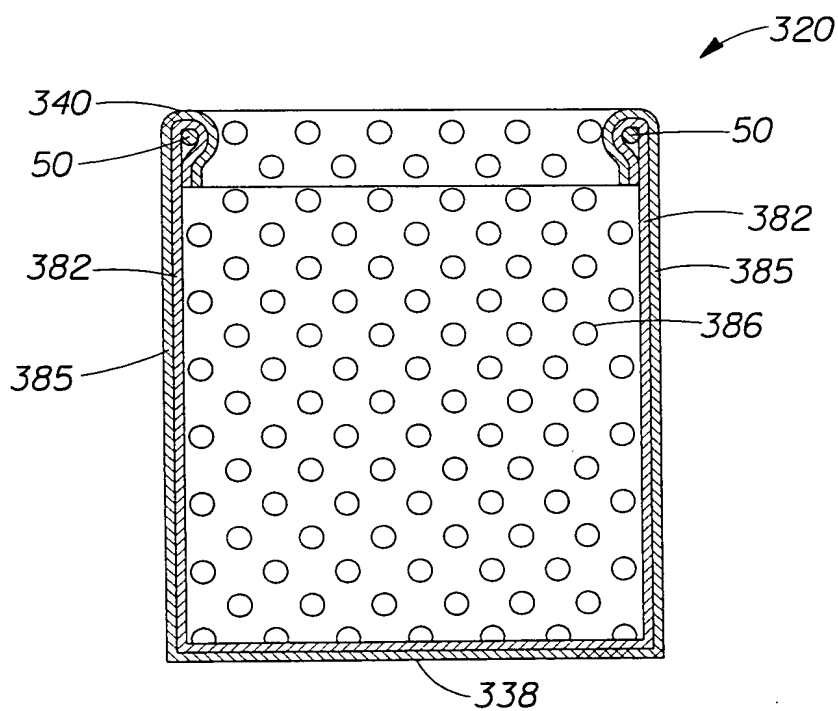


Fig. 10



9/33

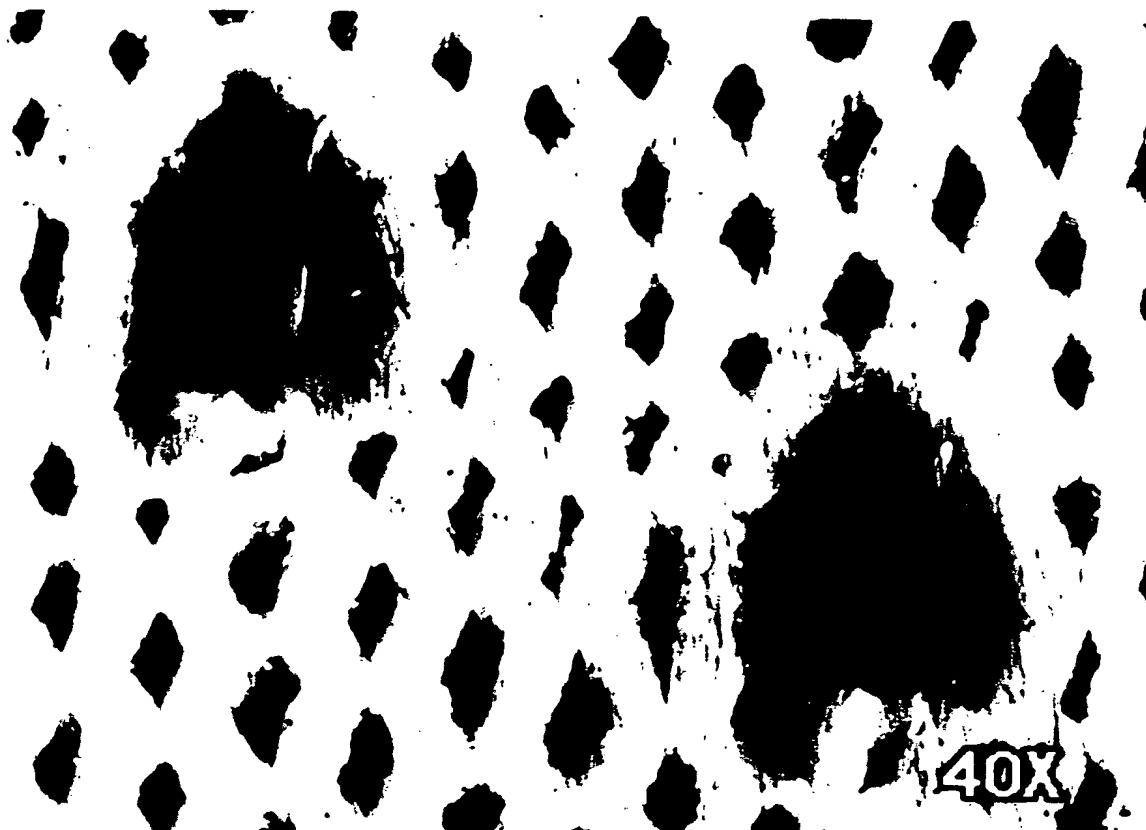


Fig. 11

10/33



Fig. 12

11/33



Fig. 13

12/33



Fig. 14

13/33

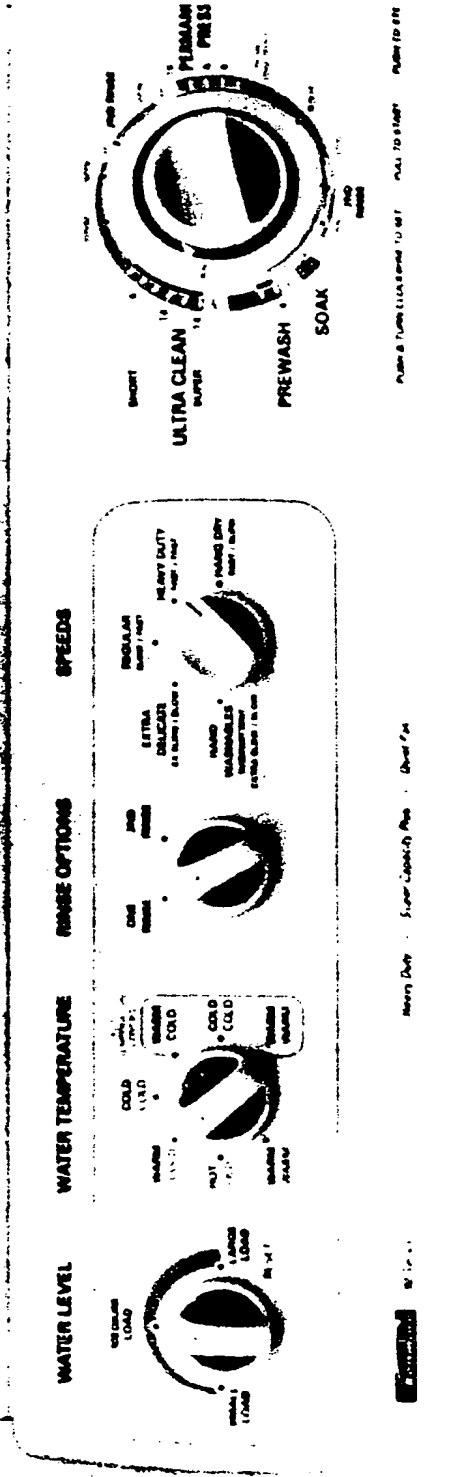
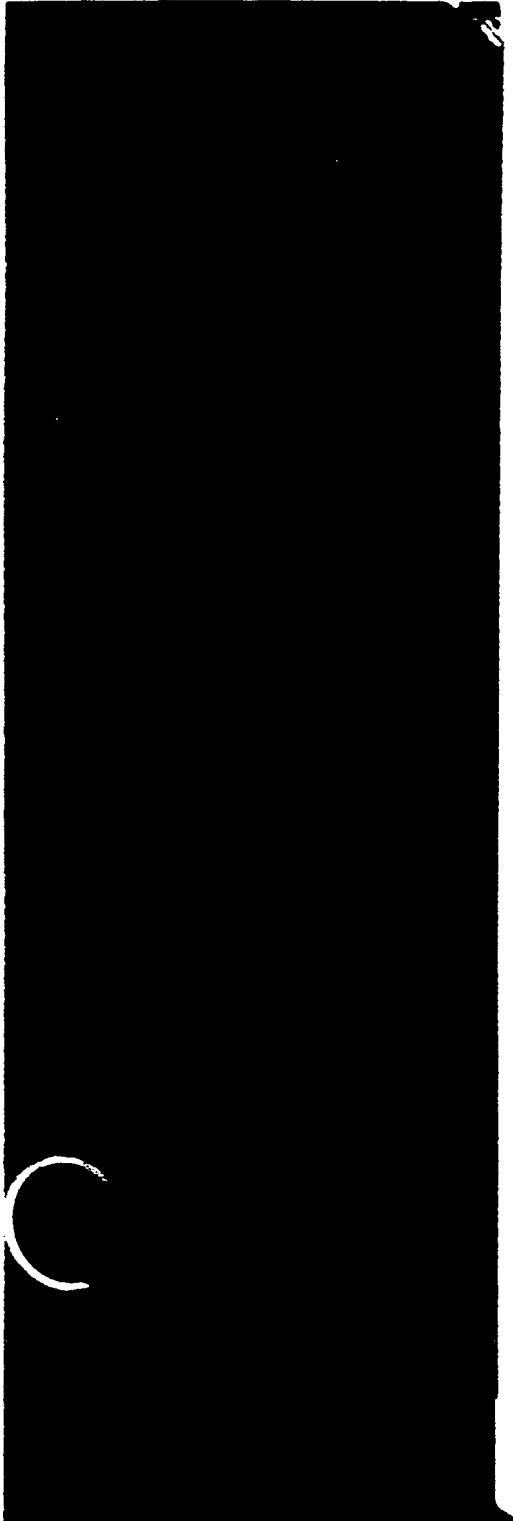


Fig. 15

14/33



Fig. 16

15/33

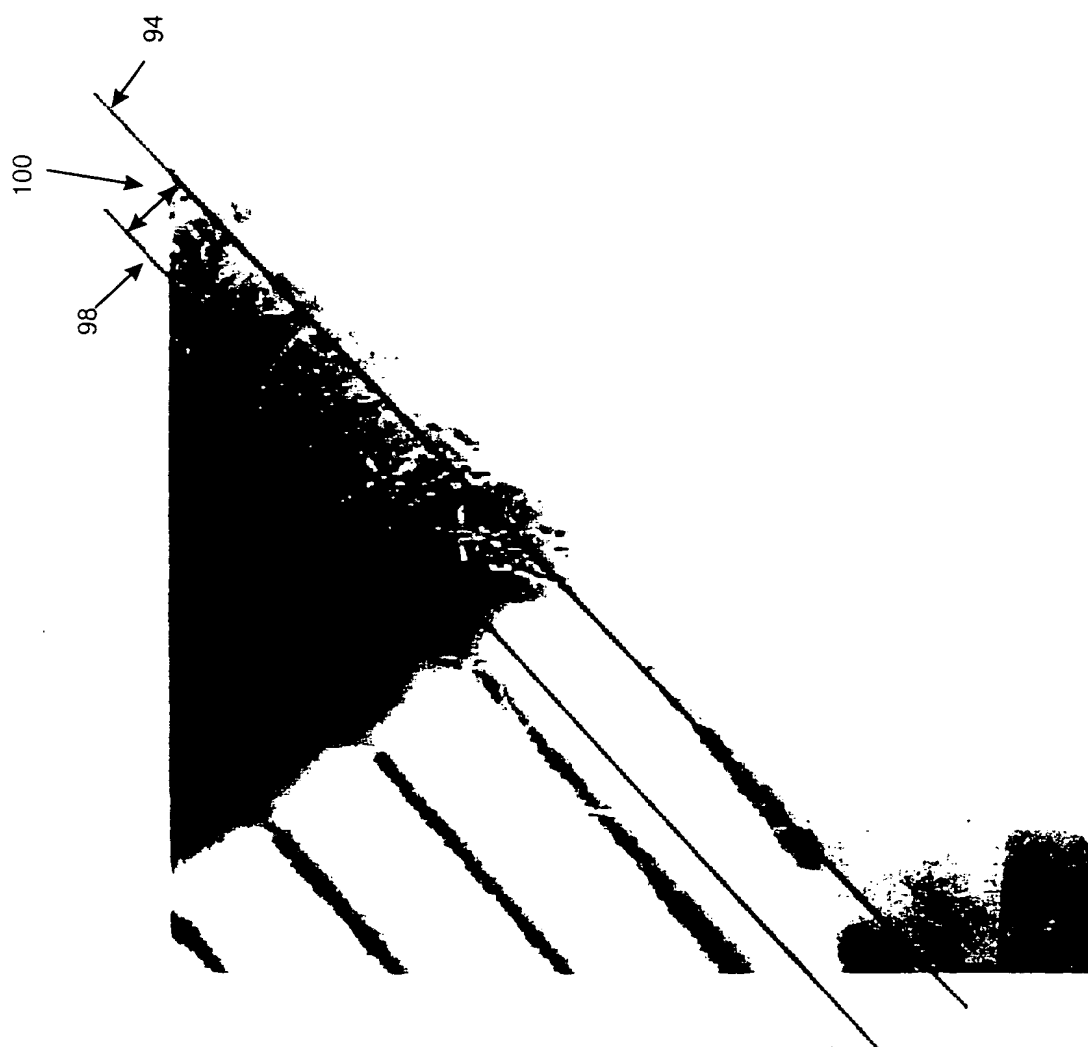


Fig. 17

16/33

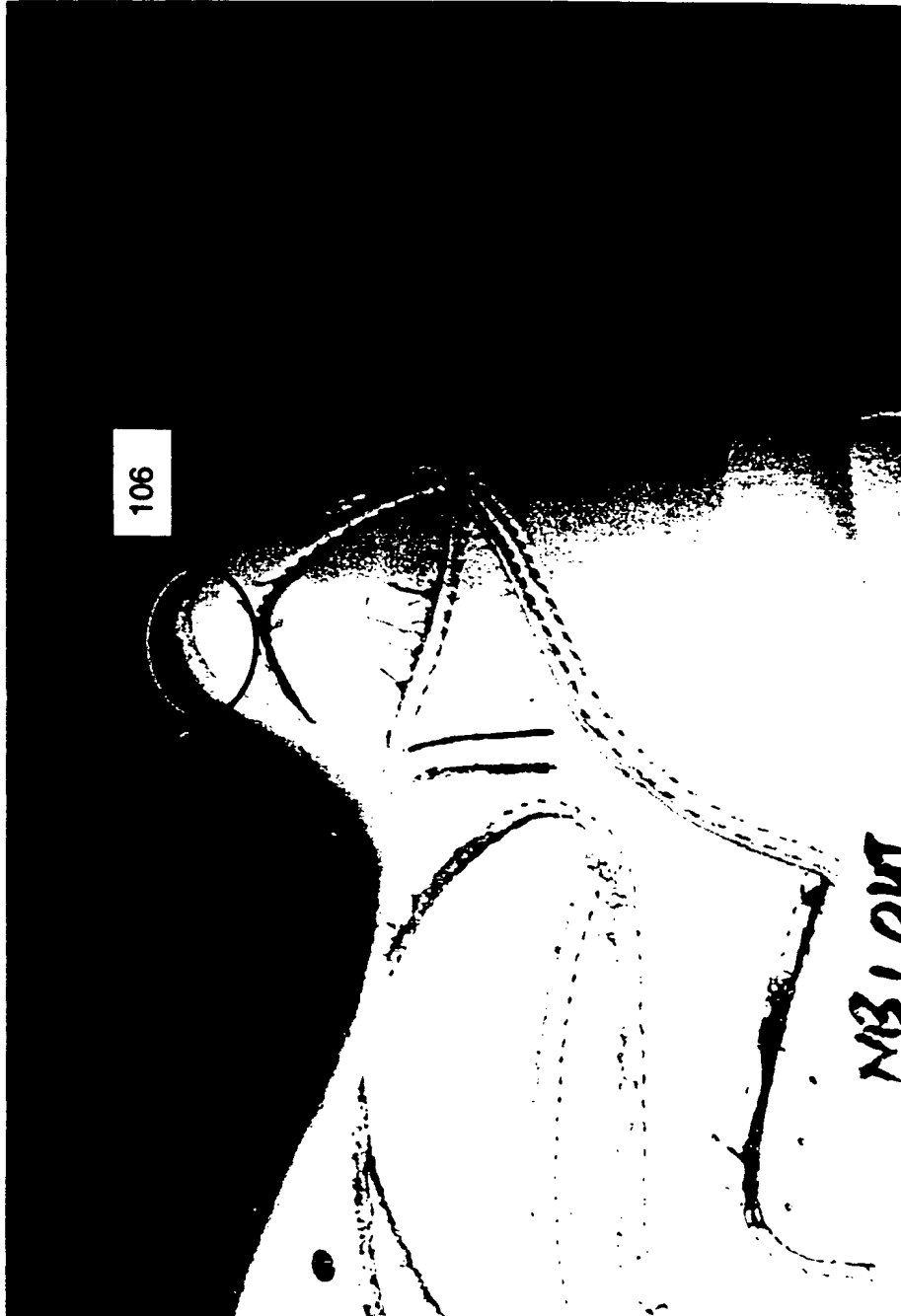


Fig. 18



17/33

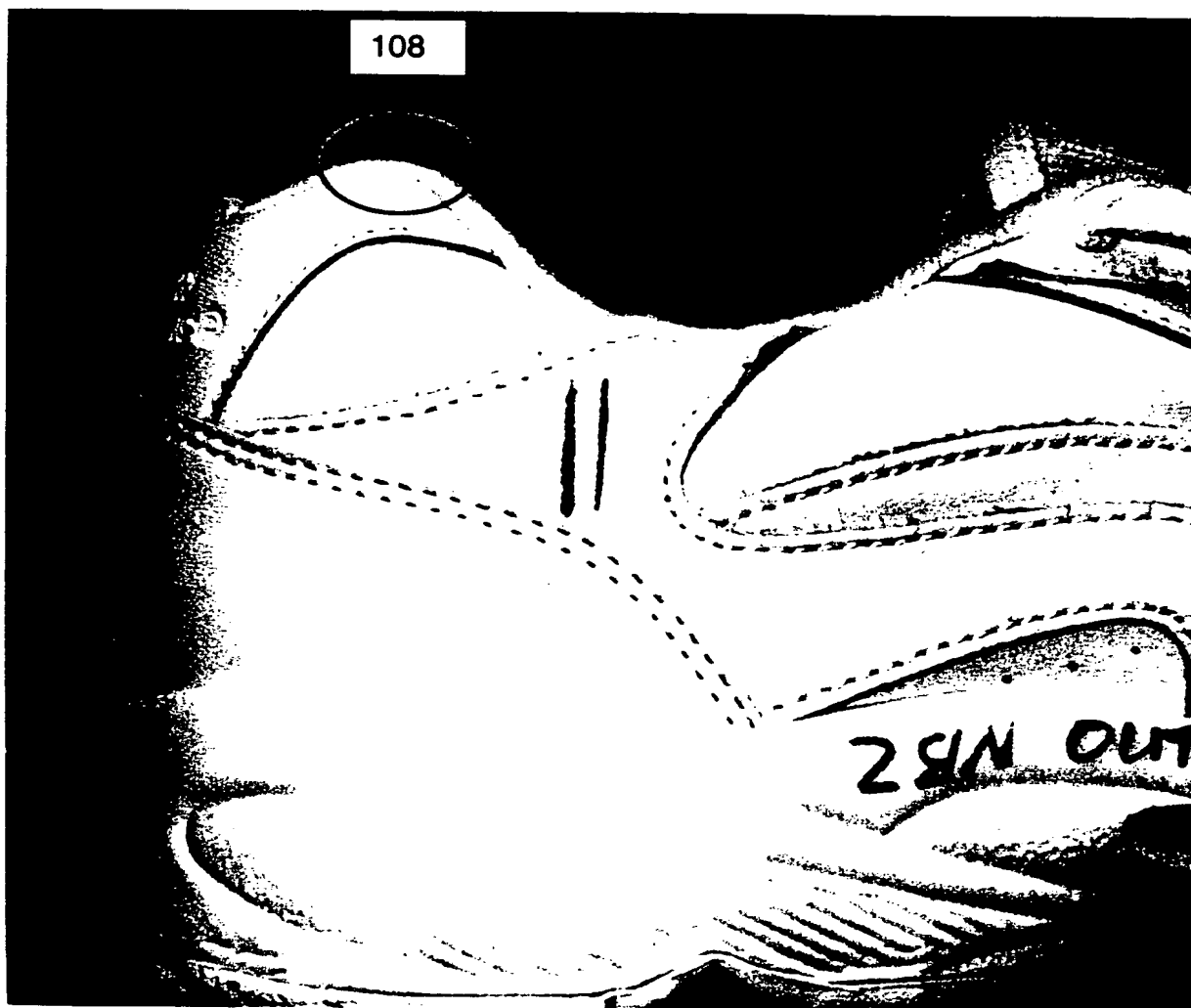


Fig. 19

18/33

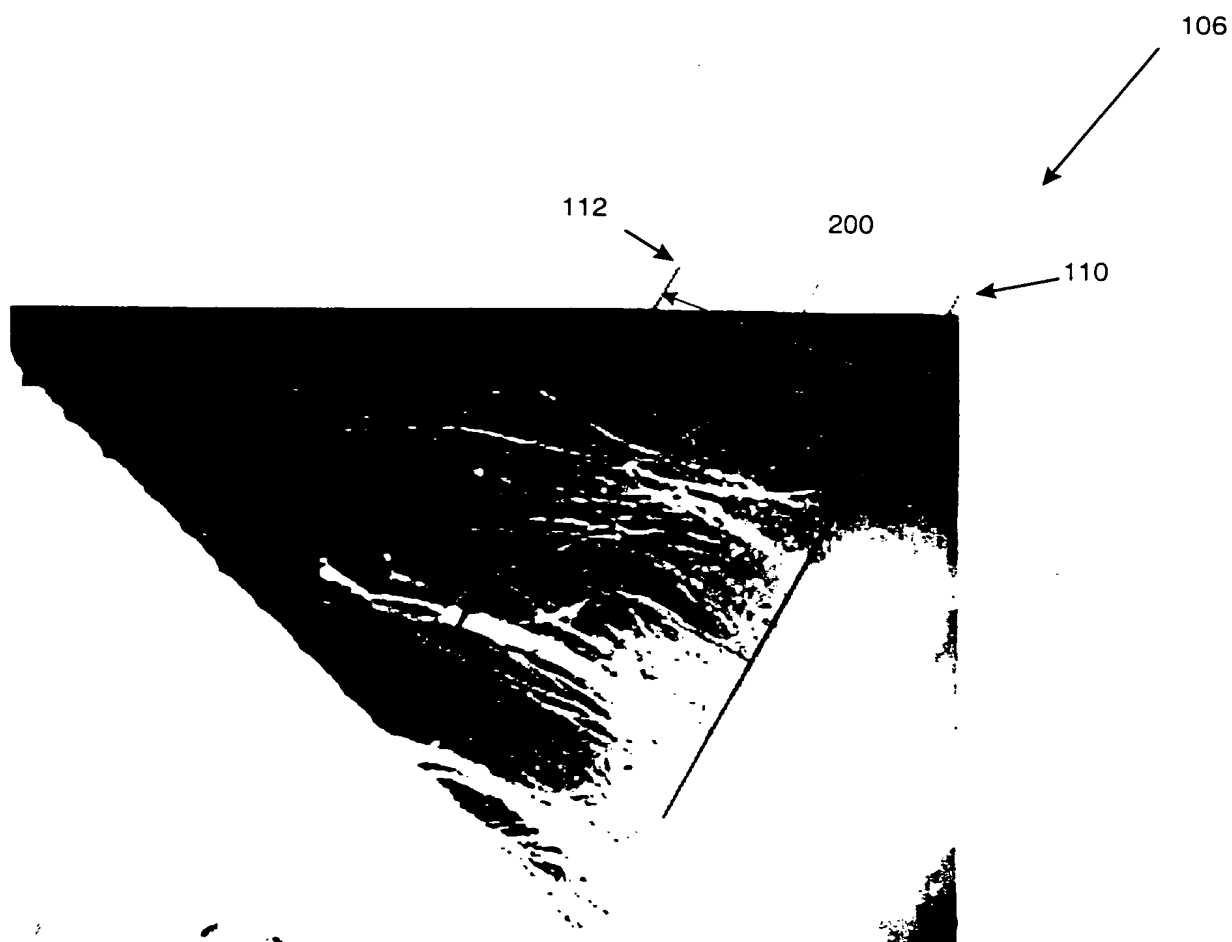


Fig. 20

19/33



Fig. 21

20/33



Fig. 22

21/33



Fig. 23

22/33

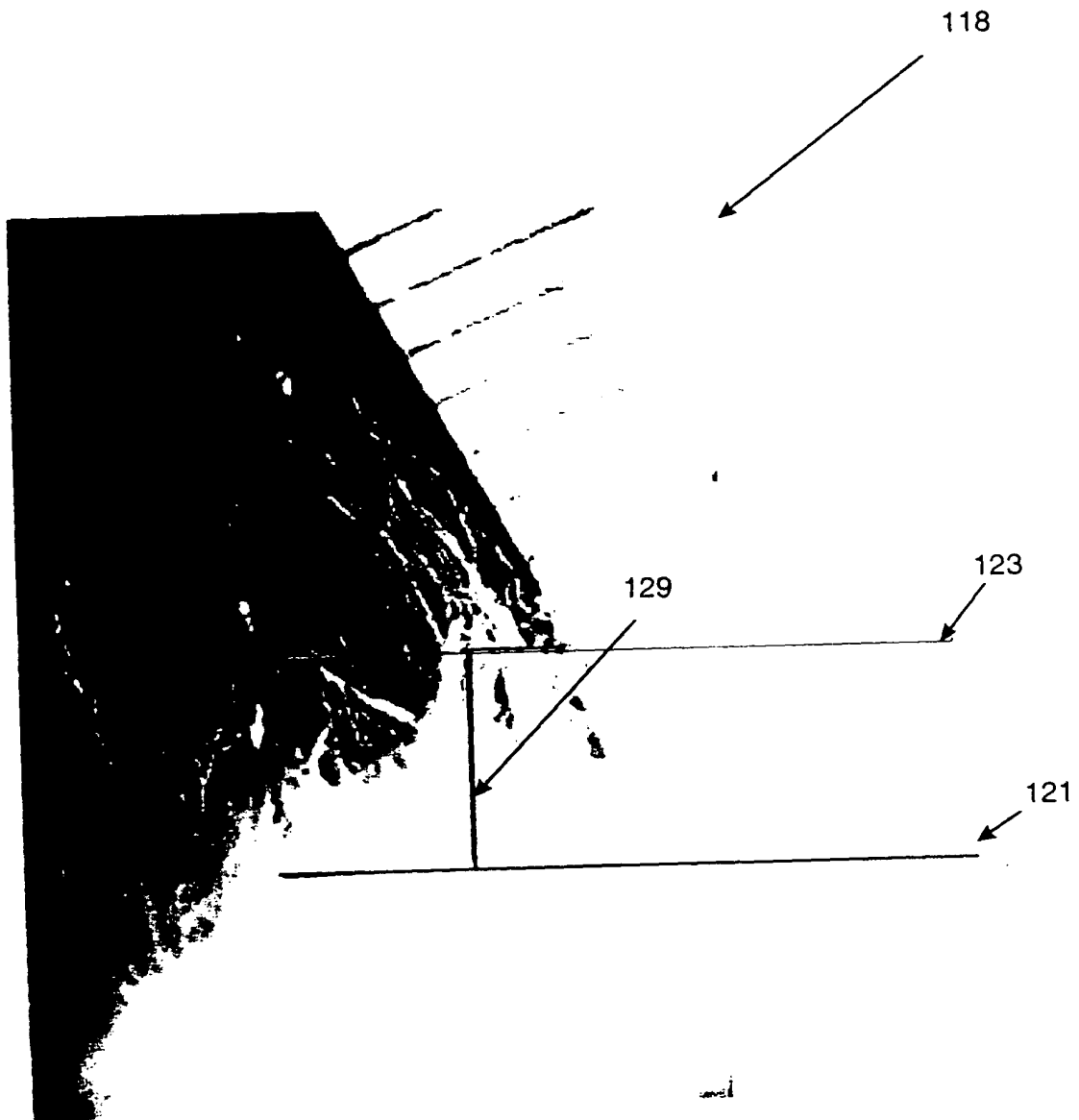


Fig. 24

23/33

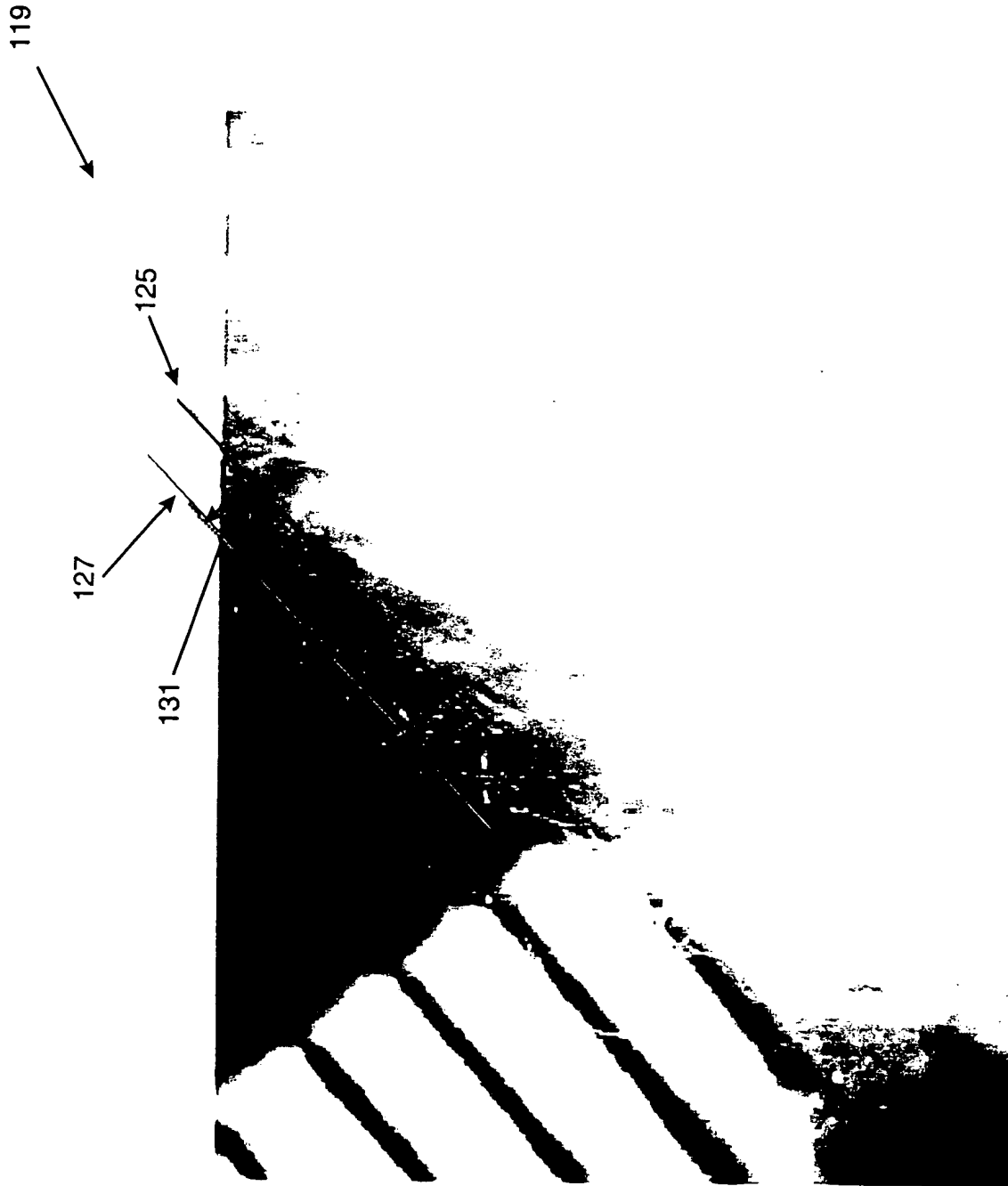


Fig. 25

24/33

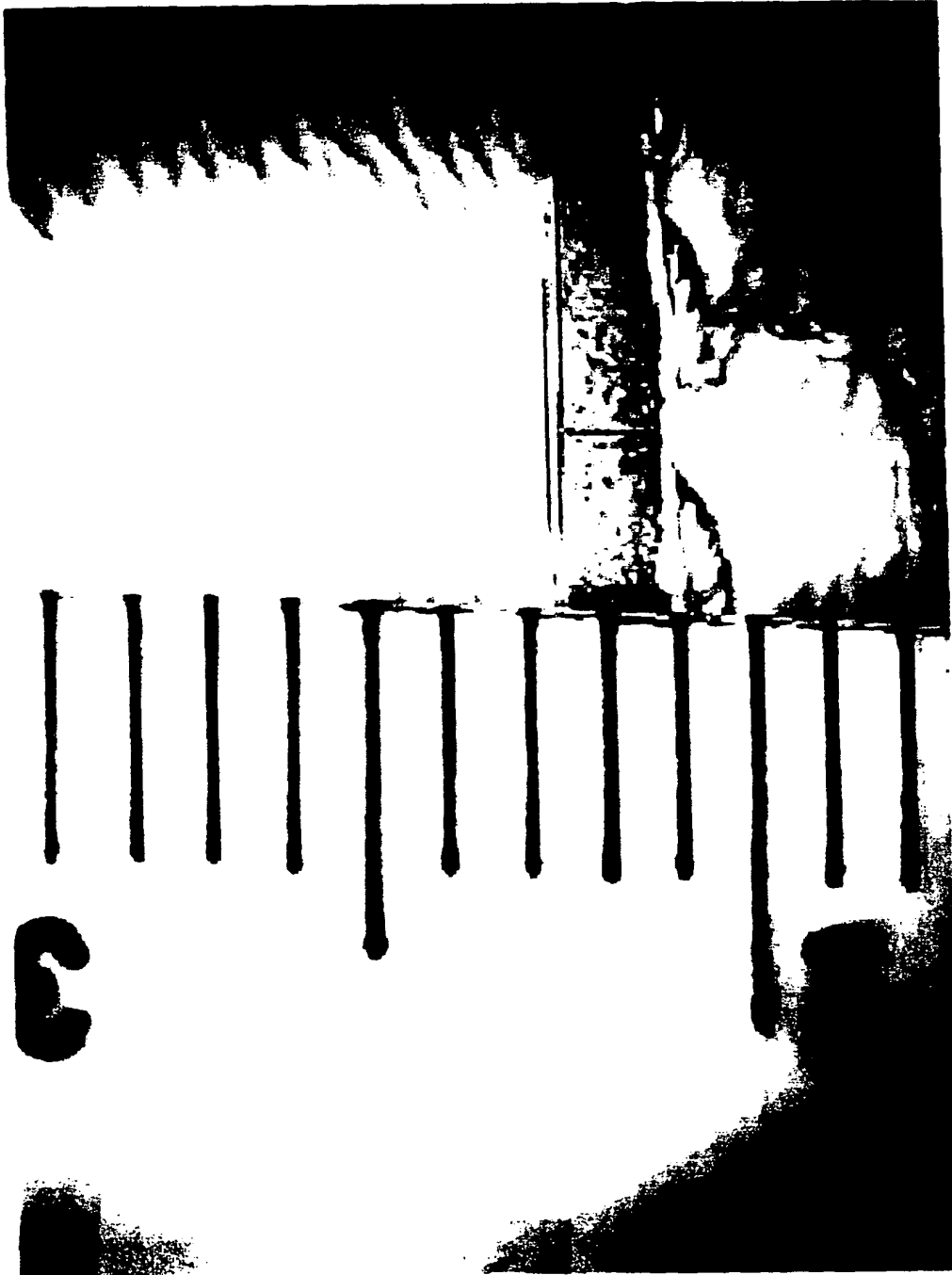


Fig. 26



25/33



Fig. 27

26/33



Fig. 28

27/33



Fig. 29

28/33

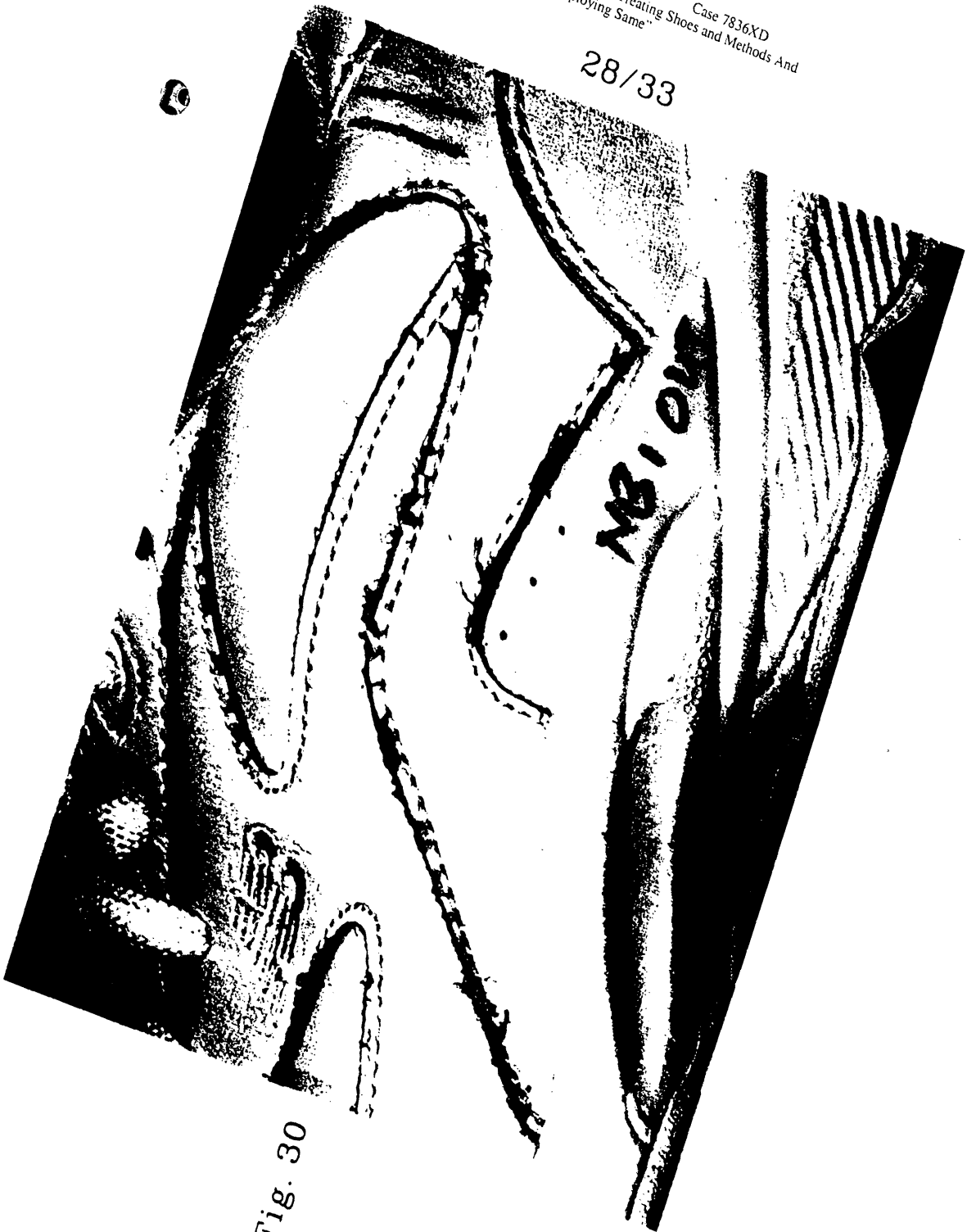


Fig. 30

29/33

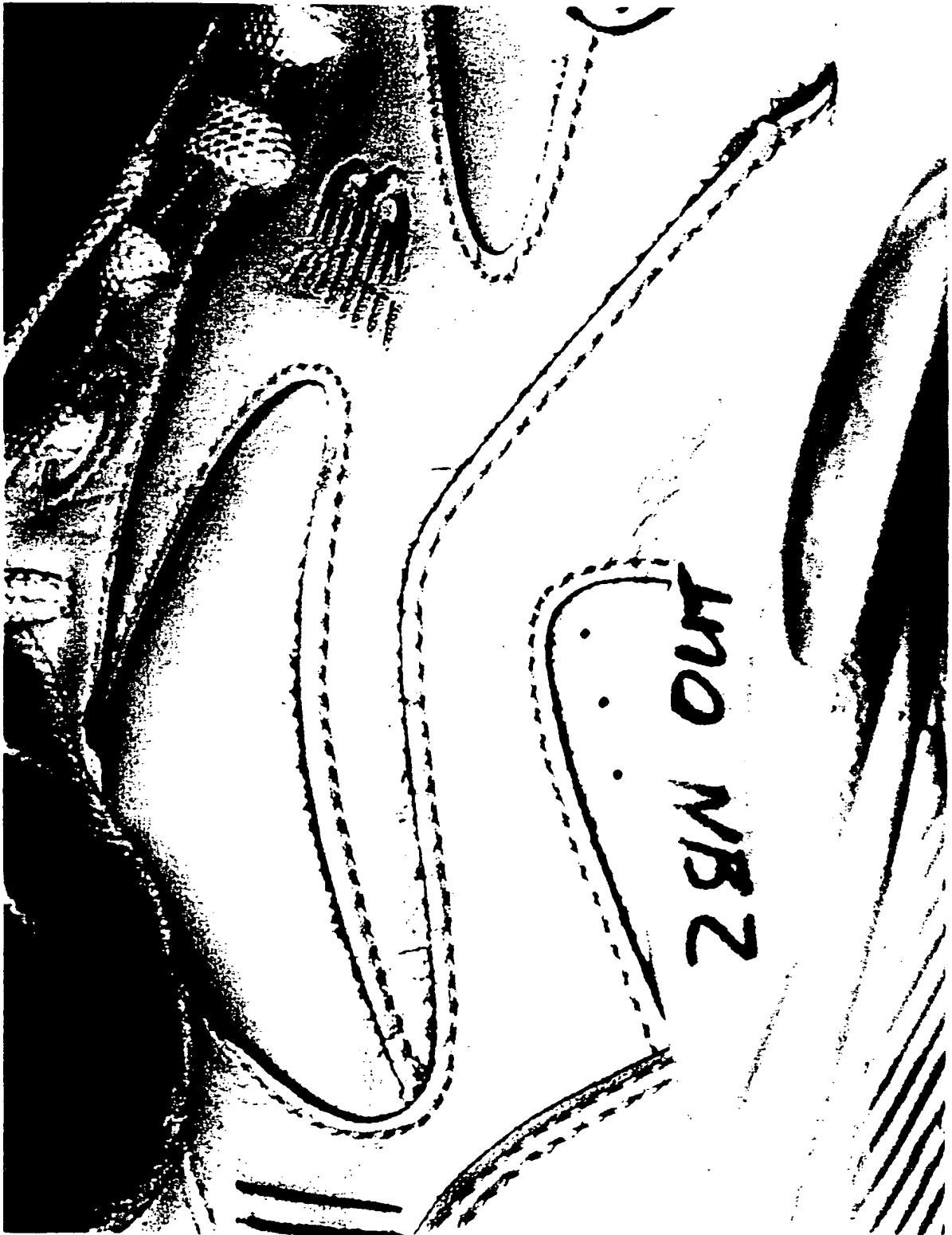


Fig. 31

30/33



Fig. 32

31/33



Fig. 33

32/33



Fig. 34



33/33

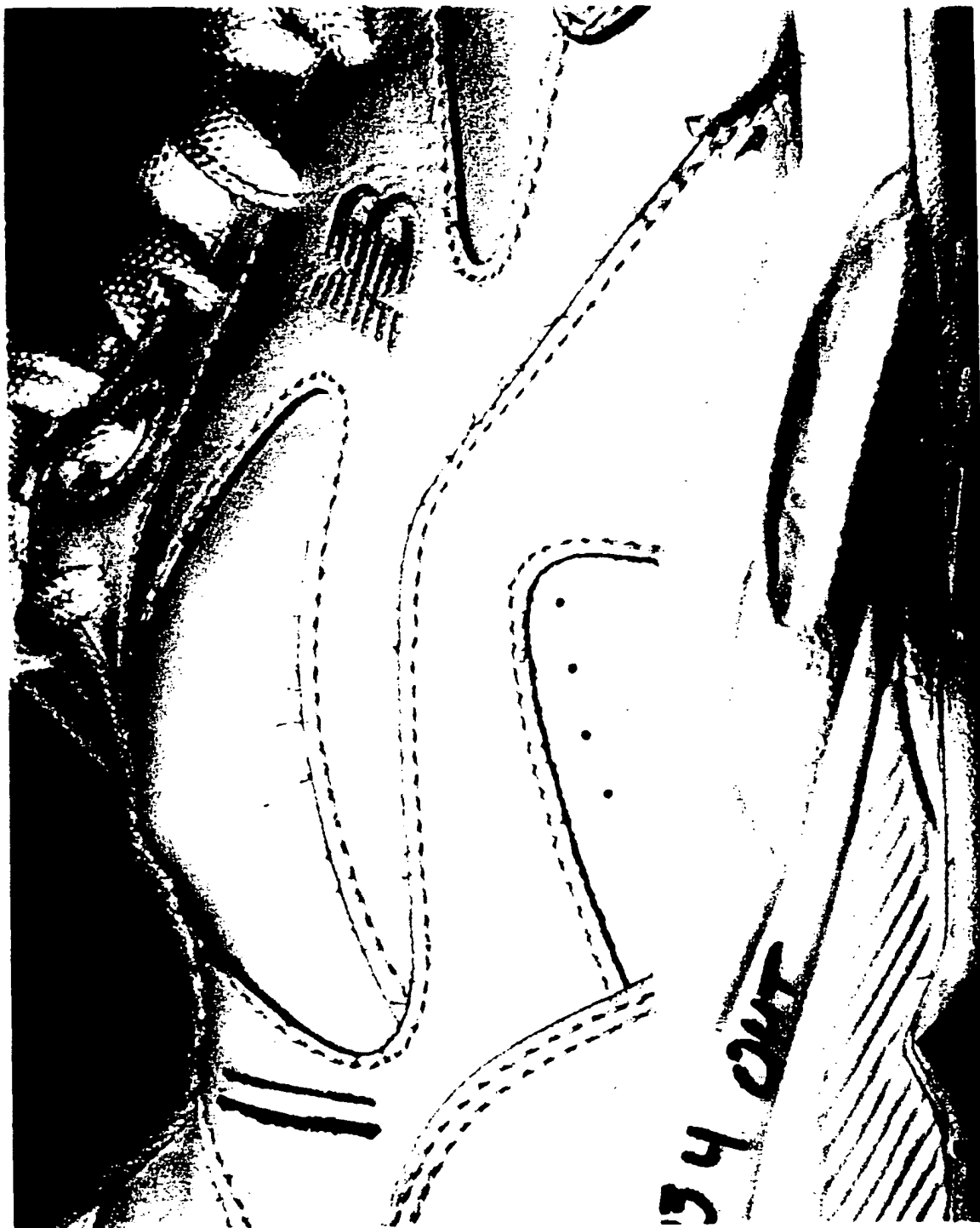


Fig. 35